

第7回 安定判別1:フィードバック系の安定性

制御工学Ⅱ



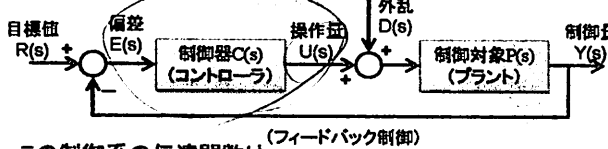
今回7:安定判別(1) フィードバック系の安定性

- 開ループ特性と応答
- 制御特性
- 開ループと内部安定
- ナイキストの安定判別法

前回6:ベクトル軌跡

フィードバック制御の構成

- 目標値と制御量の差(制御偏差)に基づき、操作量を決定する



- この制御系の伝達関数は、

$$\left. \begin{aligned} G_{ur}(s) &= \frac{C(s)}{1 + P(s)C(s)} & G_{ud}(s) &= -\frac{P(s)C(s)}{1 + P(s)C(s)} \\ G_{yr}(s) &= \frac{P(s)C(s)}{1 + P(s)C(s)} & G_{yd}(s) &= \frac{P(s)}{1 + P(s)C(s)} \end{aligned} \right\} \quad (8.1)$$

いずれもC(s)を含んでいるので、制御対象P(s)が不安定であっても、制御器C(s)によって安定化できる。分母が同じに注目

開ループ特性

- フィードバックループを切断して得られる伝達関数 $L(s)=C(s)P(s)$ を開ループ伝達関数(Open-loop Transfer Function)という。
- 前ページの伝達関数はいずれも開ループ伝達関数(Closed-loop Transfer Function)であるが、その分母は $1+C(s)P(s)=1+L(s)$ となり、この分母多項式の極の 符号 が負であれば安定であることはすでに学んだ。
- では、開ループ特性を見ることが安定を判別することはできないか、学ぶこととする。

まず2次遅れ要素のプラントに1制御を加えたループを見てみよう。

$$P(s) = \frac{K\omega_n^2}{s^2 + 2\zeta\omega_n s + \omega_n^2}, \quad C(s) = \frac{K_i}{s} \quad \text{とすると}$$

$$G_r(s) = \frac{P(s)C(s)}{1 + P(s)C(s)} = \frac{K_i K \omega_n^2}{s^3 + 2\zeta\omega_n s^2 + \omega_n^2 s + K_i K \omega_n^2} \quad (7.2) \quad \text{となる。}$$

開ループ伝達関数と安定性

式8.2の $K=1, \omega_n=10, \zeta=0.5$ として

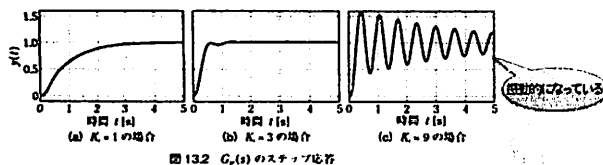


図 13.2 $G_r(s)$ のステップ応答

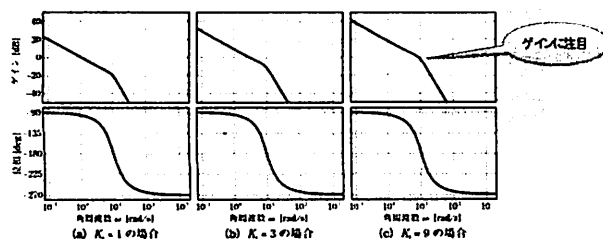
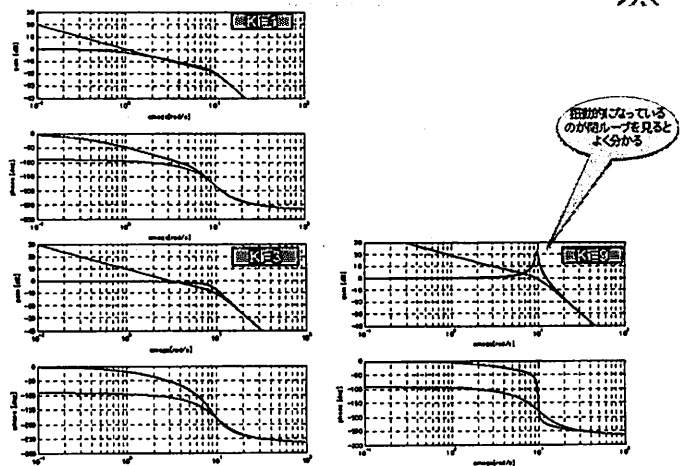


図 13.3 開ループ伝達関数 $L(s) = P(s)C(s)$ のボード線図

開ループと閉ループ特性



閉ループ極と内部安定



還送差は閉ループ極／開ループ極



開ループ伝達関数 $L(s) = P(s)C(s)$ のそれぞれの項を

$$P(s) = \frac{N_p(s)}{D_p(s)} \quad (7.3), \quad C(s) = \frac{N_c(s)}{D_c(s)} \quad (7.4)$$

とすると開ループの特性方程式は $D_p(s)D_c(s)=0$ であり、その極は \square 極と呼ばれる。式7.3, 7.4を7.1式の4つの開ループ伝達関数に適用すると

$$\left. \begin{aligned} G_{ur}(s) &= \frac{D_p(s)N_c(s)}{N_p(s)N_c(s)+D_p(s)D_c(s)}, & G_{ur}(s) &= \frac{N_p(s)N_c(s)}{N_p(s)N_c(s)+D_p(s)D_c(s)} \\ G_{yr}(s) &= \frac{N_p(s)N_c(s)}{N_p(s)N_c(s)+D_p(s)D_c(s)}, & G_{yd}(s) &= \frac{N_p(s)D_c(s)}{N_p(s)N_c(s)+D_p(s)D_c(s)} \end{aligned} \right\} (7.5)$$

となる。これらに共通する特性方程式

$$N_p(s)N_c(s) + D_p(s)D_c(s) = 0 \quad (7.6)$$

の極を \square 極と言ひ、このすべての極の実部が負なら式7.5の4つの伝達関数がすべて安定=内部安定となる。

この時、制御対象 $P(s)$ は厳密にプロパーであり、コントローラ $C(s)$ はプロパーであるとする。

開ループ

開ループ伝達関数 $L(s)$ の分母・分子表現からえられる

$$L(s) = P(s)C(s) = \frac{N_p(s)N_c(s)}{D_p(s)D_c(s)} \quad (7.7)$$

を、閉ループの特性方程式の左辺 $1+L(s)$ に代入すると \square といわれる

$$\begin{aligned} 1+L(s) &= \frac{D_p(s)D_c(s)+N_p(s)N_c(s)}{D_p(s)D_c(s)} \\ &= \frac{a(s-z_1)(s-z_2)\cdots(s-z_n)}{(s-p_1)(s-p_2)\cdots(s-p_n)} \end{aligned} \quad (7.8)$$

還送差

となる。この時 p_1, p_2, \dots, p_n は式7.7の極と同じであり、分母は開ループ極を与える。

また、分子の z_1, z_2, \dots, z_n は前ページの閉ループ極と同じであり、還送差の分母分子はともに既知の \square 極と \square 極から構成されていることが分かる。

開ループ

閉ループ

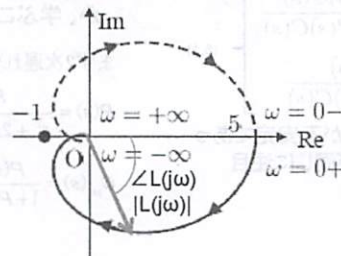
ナイキスト線図(開ループ伝達関数のベクトル軌跡)



開ループ伝達関数 $P(j\omega)C(j\omega)$ は複素関数であり、ある任意の ω [rad/s] に対して複素平面 ($P(j\omega)C(j\omega)$ 平面と呼ぶこともある) 上の一つのベクトルを表す。

$$\begin{aligned} L(j\omega) &= P(j\omega)C(j\omega) = \text{Re}\{L(j\omega)\} + j\text{Im}\{L(j\omega)\} & (\text{直交座標表示}) \\ &= |L(j\omega)| \exp\{j\angle L(j\omega)\} & (\text{極座標表示}) \end{aligned}$$

ω [rad/s] を0から ∞ まで変化させたときの複素ベクトル $L(j\omega)$ の先端が複素平面上に描くのがベクトル軌跡であったが、さらに実数軸に対して上下対象に描いたものをナイキスト線図という。



ナイキストの安定判別法



[ステップ1]

開ループ伝達関数のベクトル軌跡 $P(j\omega)C(j\omega)$ を、周波数 $\omega=0\sim\infty$ の範囲で描く。さらにこれを実軸に関して上下対称に描き、ナイキスト軌跡 Γ を得る。

[ステップ2]

ナイキスト軌跡 Γ が点 $(-1, 0)$ のまわりを時計方向にまわる回数を調べ、これを N とする。(反時計方向に1回の場合 $N=-1$)

[ステップ3]

開ループ伝達関数 $P(s)C(s)$ の極の中で実部が正であるものの個数を調べ、これを Π とする。

[ステップ4]

閉ループ系の不安定な極の数は $Z=N+\Pi$ となる。したがって、 $Z=0$ ならばフィードバック制御系は安定、 $Z\neq 0$ ならば系は不安定である。

ナイキスト安定判別法の利点



安定 $\Leftrightarrow Z=0 \Leftrightarrow N=\Pi$

- ナイキスト軌跡が点(-1,0)のまわりを反時計方向にまわる回数が、開ループ伝達関数の不安定極の個数に等しいならば、制御系は安定である。

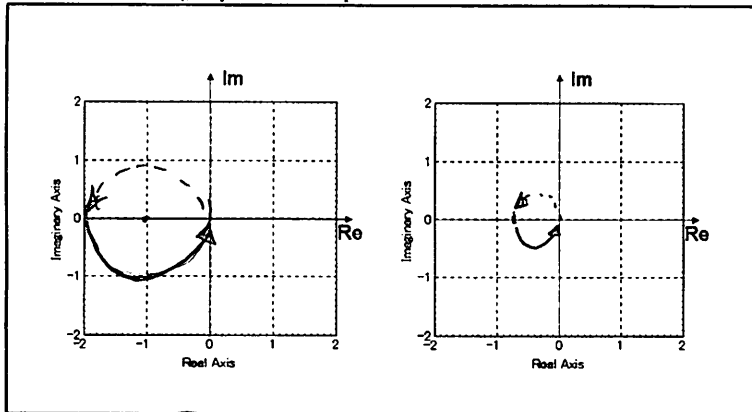
ナイキスト安定判別法の利点

- ループを閉じる前の開ループ伝達関数の周波数応答によって図的に制御系(閉ループ系)の安定性を判別できる
- 計算の必要がなく、次数の高い系やむだ時間系にも容易に適用できる
- 実測データに基づいて判定できる
- 直感的に分かりやすく、さらに安定余裕も調べられる

演習1

- 開ループ伝達関数のゲインを変えた時にナイキスト線図がどのようにに変化するかを示し、安定を判別せよ

$$L(s) = \frac{K}{s-1} \quad K = 2, \frac{3}{4}$$



$$L(j\omega) = \frac{K}{j\omega - 1} = \frac{2}{j\omega - 1} \quad \frac{3/4}{j\omega - 1}$$

極 = +1 (不安定極あり)

$$L(0) = \frac{2}{0-1}, \frac{3/4}{0-1} = -2, -\frac{3}{4}$$

$$|L(j\omega)| = \frac{1}{\omega^2 + 1}$$

$$L(j\omega) = \quad |L(j\omega)| = \quad \angle L =$$

ω	$L(j\omega)$	$ L(j\omega) $	$\angle L(j\omega)$
0	$-2-j0$	2	-180°
$1/T$	$-1-j1$	$\sqrt{2}$	-135°
∞	$0-j0$	0	-90°

極 $s = 1$

$N = -1$

$\Pi = 1$

$Z = 0$

(安定)

$$L(j\omega) = \quad |L(j\omega)| = \quad \angle L =$$

ω	$L(j\omega)$	$ L(j\omega) $	$\angle L(j\omega)$
0	$-3/4-j0$	3/4	-180°
$1/T$	$-3/8-j3/8$	$3\sqrt{2}/8$	-135°
∞	$0-j0$	0	-90°

極 $s = 1$

$N = 0$

$\Pi = 1$

$Z = 1$

(不安定)

$$L(j\omega) = \frac{-2-j2\omega}{\omega^2 + 1}, \quad |L(j\omega)| = \frac{1}{\sqrt{\omega^2 + 1}}$$

$$\angle L(j\omega) = \tan^{-1}(\omega)$$

簡単化されたナイキストの安定判別法



開ループ伝達関数が安定な場合 $\Pi = 0$ より

閉ループ不安定極 $Z=0$

となるためには $N=0$ でなければならない ($Z=N+\Pi$) ことから

簡単化されたナイキストの安定判別法

[ステップ1] 開ループ伝達関数の極の中に、その実部が正となるものがないことを確認する。

[ステップ2] 開ループ伝達関数のベクトル軌跡 $P(j\omega)C(j\omega)$ を角周波数 $\omega=0 \sim +\infty$ の範囲で描く。

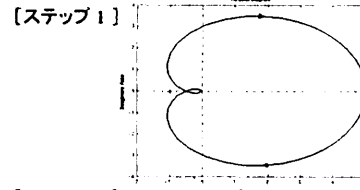
[ステップ3] ω を 0 から ∞ へ変化させたとき、この開ループ伝達関数のベクトル軌跡が点(-1,0)をつねに左に見るように動くならば、系は安定である。また、右に見れば系は不安定となる。

ナイキスト線図の使用例



- 下記の開ループ伝達関数からナイキスト線図を描き安定を判別せよ

$$L(s) = P(s)K(s) = \frac{30}{(s+1)(s+2)(s+3)}$$



[ステップ2] $N=0$

[ステップ3] $\Pi=0$

[ステップ4] $Z=N+\Pi=0$ 制御系は安定



簡易判別法



- 開ループ特性が安定であるとして簡易判別法を適用する

$$L(s) = \frac{K}{s(s+1)(s+2)} \quad K = 3, 6, 12$$

$K=3$ のとき

点(-1,0)を常に左に見る

\Rightarrow 安定

$K=6$ のとき

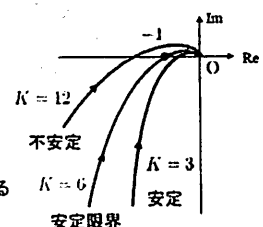
ちょうど点(-1,0)を通過する

\Rightarrow 安定限界

$K=12$ のとき

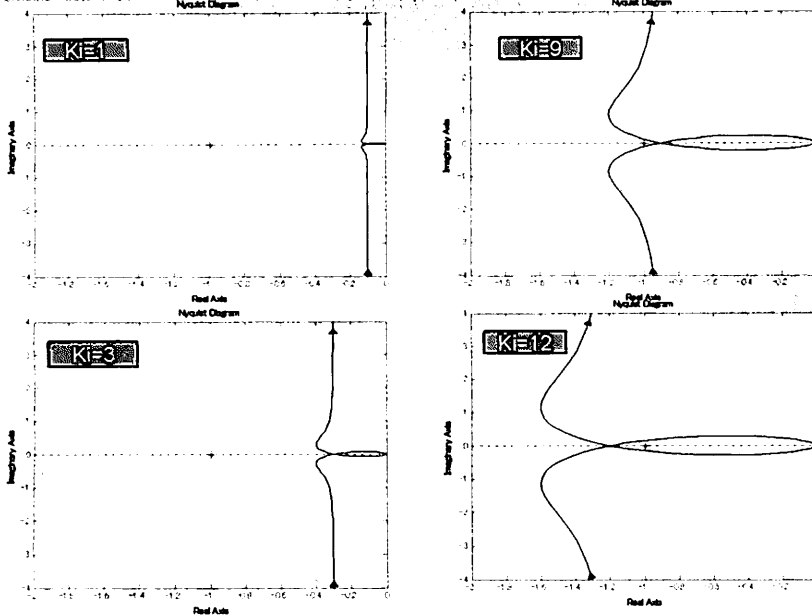
点(-1,0)を右にみるようになる

\Rightarrow 不安定

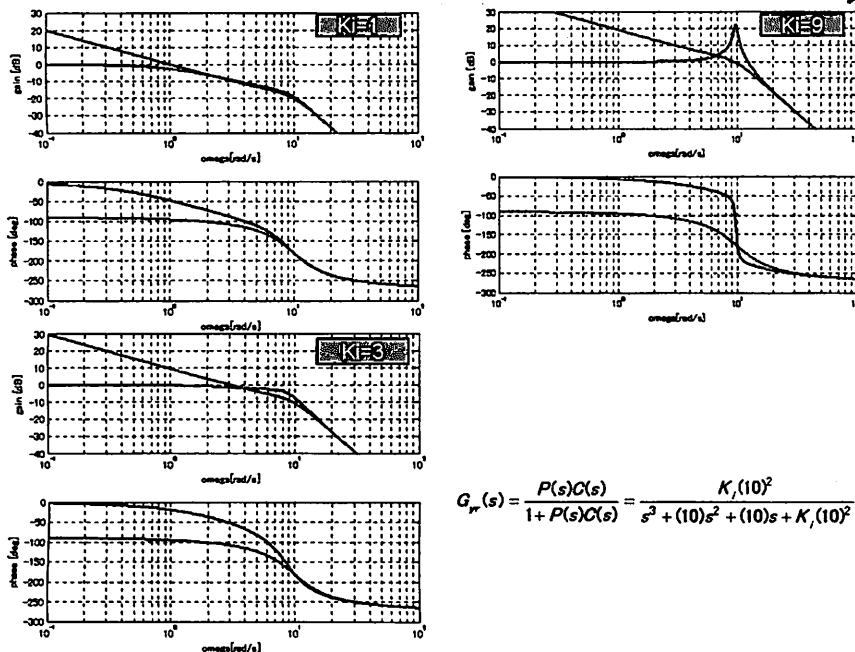


ナイキスト線図の例

式8.2の $K=1, \omega_n=10, \zeta=0.5$ として



再度ボード線図と比較しておこう



$$G_p(s) = \frac{P(s)C(s)}{1 + P(s)C(s)} = \frac{K_c(10)^2}{s^3 + (10)s^2 + (10)s + K_c(10)^2} \quad (8.2)$$

まとめ

- フィードバック系の安定性について考察し、
- 内部安定性について学習した。
- 開ループ伝達関数を与えるベクトル軌跡が安定性の判別に便利であり、これを拡張したナイキスト線図による安定判別を学んだ。
- さらにシステムの安定性を仮定するともっと簡単に安定判別が可能となり、ベクトル軌跡が $(-1, j0)$ の点を右に見るか左に見るかで判別が可能である。